

СРЕДНЕКВАДРАТИЧНЫЙ ЗАРЯДОВЫЙ РАДИУС МАГИЧЕСКОГО ЯДРА ^{146}Gd

*Г.Д.Алхазов, А.Е.Барзах, В.П.Денисов, В.С.Иванов,
И.Я.Чубуков, Н.Б.Буянов¹⁾, В.С.Летохов¹⁾,
В.И.Мишин¹⁾, С.К.Секацкий¹⁾, В.Н.Федосеев¹⁾.*

Методом резонансной фотоионизации атомов определены изотопические сдвиги (ИС) для изотопов гадолиния с $A = 146 - 160$. По измеренным ИС вычислены изотопические изменения зарядовых радиусов, что позволило, учитывая известные зарядовые радиусы стабильных ядер Gd, впервые определить среднеквадратичный зарядовый радиус магического ядра ^{146}Gd : $\langle r^2 \rangle^{1/2} ({}^{146}\text{Gd}) = 4,984 \text{ Фм}$.

В последние годы интенсивно обсуждается вопрос о магичности ядра ^{146}Gd . Целый ряд экспериментальных данных, таких, как структура спектра возбуждения для ^{146}Gd , наличие заметной щели в одночастичном протонном спектре, излом массовой поверхности при $Z = 64$, $N = 82$, систематика энергий 2^+ - и 3^- -уровней для соседних ядер и др. (см., например, ¹⁾) свидетельствуют в пользу предположения о магичности ^{146}Gd .

Для проверки любой теоретической модели весьма желательно иметь как можно больше информации об этом "новом" магическом ядре. В частности, как раз такие характеристики магических ядер, как зарядовые радиусы и энергии связи, определяют выбор оптимальных параметров эффективных нуклон-нуклонных сил в рамках метода Хартри-Фока ²⁾. Это связано с тем, что именно для магических ядер минимален вклад динамических эффектов в рассматриваемые характеристики.

Поскольку ядра ^{146}Gd являются нестабильными, и их нельзя получить в больших количествах, традиционные методы измерения среднеквадратичных зарядовых радиусов (с помощью электронного рассеяния или из анализа спектров мезоатомов) непригодны для измерения $\langle r^2 \rangle ({}^{146}\text{Gd})$, так как обладают низкой чувствительностью.

Эту задачу можно решить с помощью исследования оптических изотопических сдвигов (ИС) для изотопов Gd. Так как зарядовые радиусы стабильных изотопов Gd, например, ^{154}Gd с достаточной точностью измерены в экспериментах с мезоатомами, то, определив, по измеренным ИС величину

$$\Delta \langle r^2 \rangle_{146, 154} = \langle r^2 \rangle ({}^{154}\text{Gd}) - \langle r^2 \rangle ({}^{146}\text{Gd}) . \quad (1)$$

можно вычислить искомый зарядовый радиус ${}^{146}\text{Gd}$, что и сделано в настоящей работе.

Для измерения ИС был использован метод резонансной фотоионизации атомов. Этот метод, экспериментальная установка и методика эксперимента описаны в работах ^{3, 4)}. Измерения ИС проводились для перехода с длиной волны 585,16 нм. ИС исследуемой оптической линии $\Delta \nu_{A, A'}$ для пары изотопов с массовыми числами A, A' может быть представлен в виде суммы ⁵⁾:

$$\Delta \nu_{A, A'} = F \lambda_{A, A'} + M \frac{A' - A}{AA'} ,$$

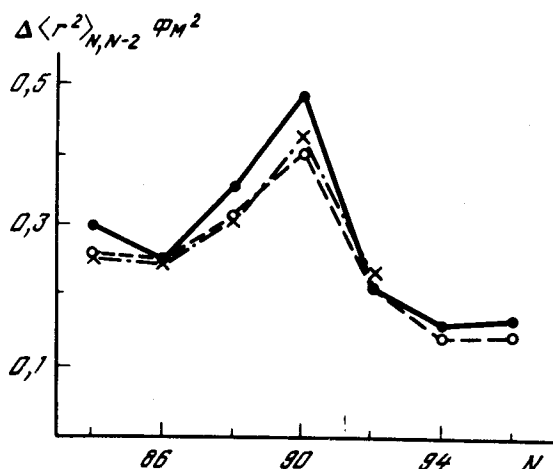
где

$$\lambda_{AA'} = \Delta \langle r^2 \rangle_{A, A'} + C_1 \Delta \langle r^4 \rangle_{A, A'} + C_2 \Delta \langle r^6 \rangle_{A, A'} + \dots$$

и константы C_k быстро убывают с ростом k . При определении величин F и M для рассматриваемого оптического перехода были использованы данные об изотопических сдвигах рент-

¹⁾ Институт спектроскопии АН СССР

геновских K -линий ⁶ и s -уровней мезоатомов ⁷, а также данные об ИС для стабильных изотопов Gd на других оптических линиях ⁸.



Дифференциальные изменения средних квадратов зарядовых радиусов ядер ^{62}Sm ⁵ – крестики, ^{64}Gd (настоящая работа) – черные кружки, ^{66}Dy ⁹ – полые кружки

На рисунке представлены дифференциальные изменения зарядовых радиусов ядер Gd с $N \geq 82$. На этом же рисунке приведены величины $\Delta\langle r^2 \rangle_{A, A-2}$, полученные ранее для соседних четно-протонных ядер ^{62}Sm ⁵ и ^{66}Dy ⁹. Изотопическая зависимость $\Delta\langle r^2 \rangle$ для ядер Gd в целом аналогична соответствующим зависимостям для ядер Sm и Dy, в частности, отчетливо выделяется скачок величины $\Delta\langle r^2 \rangle_{A, A-2}$ при $N = 88 - 90$, связанный с резким изменением деформации соответствующих ядер. Отметим, что скачкообразный характер изменения деформации в районе $N = 88 - 90$ наблюдается только для ядер с Z , близким к $Z = 64$ ^{9, 6}, что, как полагают авторы работ ^{1, 9, 10}, связано с магичностью числа $Z = 64$. Как видно из рисунка, как раз для ^{64}Gd скачок $\Delta\langle r^2 \rangle$ при $N = 88 - 90$ максимальен по сравнению с соседними четно-протонными ядрами.

Для определения значения зарядового радиуса магического ядра ^{146}Gd было использовано равенство (1), где величина $\langle r^2 \rangle ({}^{154}\text{Gd})$ бралась согласно результатам мезоатомных экспериментов ⁷ равной $\langle r^2 \rangle ({}^{154}\text{Gd}) = 26,239(42) \text{ Фм}^2$, а значение $\Delta\langle r^2 \rangle_{154, 146} = -1,40(12) \text{ Фм}^2$ было получено в настоящей работе. В результате получены значения:

$$\langle r^2 \rangle ({}^{146}\text{Gd}) = 24,84(16) \text{ Фм}^2 \quad \text{и} \quad \langle r^2 \rangle^{1/2} ({}^{146}\text{Gd}) = 4,984(16) \text{ Фм}.$$

Главный вклад в погрешность среднеквадратичного зарядового радиуса магического ядра ^{146}Gd дает погрешность величины $\Delta\langle r^2 \rangle_{154, 146}$, которая, в свою очередь, практически полностью определяется погрешностями констант F и M .

Зарядовый радиус магического ядра ^{146}Gd может быть использован для поиска оптимальной параметризации эффективных сил. Мы провели сравнение полученного экспериментального значения с результатами расчетов по методу Хартри – Фока с различными эффективными силами. Наилучшими с точки зрения описания $\langle r^2 \rangle ({}^{146}\text{Gd})$ оказались силы SkM' ¹¹ и $SG2$ ¹² (4,992 Фм и 4,980 Фм соответственно), а наихудшими – силы $S3$ ² (5,045 Фм) и $S6$ ² (5,060 Фм). Полученное для сил SkM' согласие теории и эксперимента свидетельствует в пользу правомерности использования этих сил для расчетов в области нестабильных ядер. Значение $\langle r^2 \rangle ({}^{146}\text{Gd})$, определенное в настоящей работе, может оказаться весьма важным для дальнейшего уточнения параметров эффективного взаимодействия, поскольку это единственное известное к настоящему времени значение среднеквадратичного зарядового радиуса для магического ядра, удаленного от дорожки стабильности.

Литература

1. *Hamilton J.H., Hansen P.G.* Zganjar. Rep. Prog. Phys., 1985, **48**, 630.
2. *Beiner M. et al.* Nucl. Phys., 1975, **A238**, 29,
3. *Fedoseev V.N. et al.* Opt. Comm., 1984, **52**, 24.
4. *Мишин В.И. и др.* ЖЭТФ, 1987, **93**, 410.
5. *Heilig K., Steudel A.* ADNDT, 1974, **14**, 616.
6. *Boehm F., Lee P.L.* ADNDT, 1974, **14**, 605.
7. *Laubacher D.B. et al.* Phys. Rev., 1983, **C27**, 1772.
8. *Борисов С.К. и др.* ЖЭТФ, 1987, **93**, 1545.
9. *Neugart R.* In: Nucl. Phys., ed. by C. E. Bemis and H. K. Carter, Chur-London-New York, Harwood, 1982.
10. *Casten R.F. et al.* Phys. Rev. Lett., 1981, **47**, 1433.
11. *Bartel J. et al.* Nucl. Phys., 1982, **A386**, 79.
12. *Van Giai N., Sagawa H.* Phys. Lett., 1971, **106B**, 379.

Институт ядерной физики им. Б.П.Константинова
Академии наук СССР

Поступила в редакцию
28 июля 1988 г.